

## СИНТЕЗ И ЭКСТРАКЦИОННЫЕ СВОЙСТВА 4,5-ДИФОСФОРИЛИРОВАННЫХ ТРИАЗОЛОВ

© 2023 г. А. Н. Туранов<sup>1</sup>, В. К. Карапашев<sup>2</sup>, О. И. Артюшин<sup>3</sup>,  
Е. В. Смирнова<sup>3,\*</sup>, В. К. Брель<sup>3</sup>

<sup>1</sup> Институт физики твердого тела имени Ю. А. Осипьяна Российской академии наук, Черноголовка, 142432 Россия

<sup>2</sup> Институт проблем проблем технологий микроэлектроники и особо чистых материалов Российской академии наук,  
Черноголовка, 142432 Россия

<sup>3</sup> Институт элементоорганических соединений имени А. Н. Несмейanova Российской академии наук,  
ул. Вавилова 28, Москва, 119334 Россия  
\*e-mail: matveeva@gmail.com

Поступило в редакцию 21 февраля 2023 г.

После доработки 22 марта 2023 г.

Принято к печати 27 марта 2023 г.

Разработан метод синтеза 4,5-дифосфорилированных 1,2,3-триазолов и изучены их экстракционные свойства в отношении ионов U(VI), Th(IV) и лантанидов(III). Обнаружен эффект синергизма при экстракции ионов металлов из азотнокислых растворов смесями 4,5-дифосфорилированных 1,2,3-триазолов и динонилнафтилинсульфокислоты. Определена стехиометрия извлекаемых комплексов, рассмотрено влияние строения экстрагента и концентрации HNO<sub>3</sub> в водной фазе на эффективность извлечения ионов металлов в органическую фазу. Установлено, что 4,5-дифосфорилированный 1,2,3-триазол с октильным заместителем у атома азота обладает наиболее высокой экстракционной способностью по отношению к актинидам и лантанидам в азотнокислых средах.

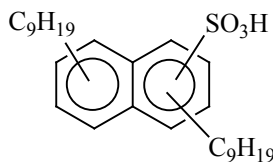
**Ключевые слова:** экстракция, уран(VI), торий(IV), лантаниды(III), фосфиноксиды, динонилнафтилинсульфокислота

**DOI:** 10.31857/S0044460X23040091, **EDN:** AUJXTI

Экстракционные методы широко используются в процессах разделения и концентрирования лантанидов и актинидов при переработке отработанного ядерного топлива, а также при анализе различных материалов, в том числе объектов окружающей среды [1]. Среди известных экстрагентов высокой экстракционной способностью по отношению к актинидам и лантанидам обладают нейтральные полифункциональные фосфорорганические реагенты [2–10]. Детально изучены экстракционные свойства тетраалкил- и тетраарилзамещенных дифосфиноксидов при извлечении актинидов и лантанидов из азотнокислых сред [7, 11, 12]. По своей экстракционной способности эти соединения значительно превосходят свои монодентатные

аналоги. При этом было установлено, что природа и строение углеродного мостика, который связывает два фосфиноксидных фрагмента, оказывают существенное влияние на экстракционные свойства используемого дифосфиноксида [13, 14]. Например, этилендифосфиноксиды экстрагируют актиниды и лантаниды из азотнокислых растворов значительно менее эффективно, чем их аналоги с метиленовым мостиком между фосфиноксидными группами [7]. При замене этиленового мостика на виниленовый [15, 16] или *o*-фениленовый [17–19] происходит значительное увеличение коэффициентов распределения актинидов и лантанидов при их экстракции из азотнокислых растворов. В последнее время появились данные, что высокую

Схема 1.



экстракционную способность по отношению к актинидам и лантанидам в азотнокислых средах демонстрируют также бисфосфиноксиды на основе азотсодержащих гетероциклов [20–23].

В 2000 году был синтезирован перспективный полидентатный лиганд, совмещающий в молекуле две фосфорильные группы, разделенные виниленовым мостиком, и донорные атомы азота триазольного цикла, – 4,5-бис(дифенилфосфорил)-1,2,3-триазол [24]. Активное исследование комплексообразования данного лиганда с катионами различных металлов показало, что в кристаллическом виде комплексы с Co(II), Ni(II), Rh(III) и In(III) N,O-координированные, а с U(VI), La(III), Al(III) и Mg(II) O,O-координированные [24–26]. Кроме того были изучены структура и люминесцентные свойства его комплексов с ионами лантанидов [27] и экстракционное поведение в отношении ионов Mg(II), Zn(II), Cd(II), Pb(II), Mn(II), Co(II), Ni(II) и Cu(II) из слабокислых водных растворов [28]. Однако сведения об экстракционной способности этого соединения по отношению к актинидам и лантанидам в литературе отсутствуют.

В связи с этим представляло интерес синтезировать новые 1,2-бисфосфиноксиды, совмещающие в своей молекуле виниленовый мостик и полиазотсодержащий гетероцикл, и исследовать их экстракционные свойства. Поскольку ранее было показано, что экстракция актинидов и лантанидов

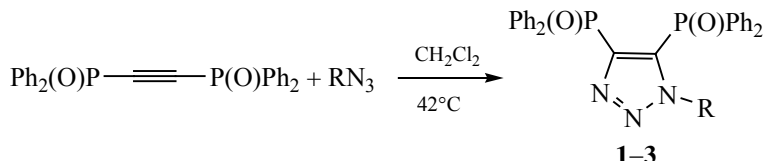
из азотнокислых растворов нейтральными экстрагентами значительно увеличивается в присутствии динонилнафтилсульфокислоты (схема 1) [29–31], представляло интерес исследовать влияние данной кислоты на экстракцию ионов металлов растворами синтезированных дифосфорилированных триазолов.

Цель настоящей работы состояла в синтезе новых 4,5-бисфосфиноксидов, содержащих 1,2,3-триазольный фрагмент и различные заместители в 1-м положении, оценке их экстракционной способности по отношению к актинидам и лантанидам. Для этого были синтезированы 4,5-дифосфорилированные триазолы **1–3**, содержащие в положении 1 *n*-октильный (**1**), 2-гидроксиэтильный (**2**) и 2-диэтоксифосфорилэтильный (**3**) заместители (схема 2), и изучено межфазное распределение U(VI), Th(IV) и Ln(III) между растворами HNO<sub>3</sub> и органической фазой, содержащей соединения **1–3**. Эффективность экстракции ионов металлов фосфиноксидами **1–3** представлена в сравнении с данными по экстракции ионов металлов с использованием 1,2-бис(дифенилфосфорил)этана **4** в аналогичных условиях.

Синтез фосфорзамещенных 1,2,3-триазолов **1–3** осуществляли конденсацией октил-, 2-гидроксиэтил- и 2-диэтоксифосфорилэтилазидов с 1,2-бис(дифенилфосфорил)ацетиленом при нагревании в растворе хлористого метиlena в отсутствие катализаторов (схема 2). Реакция протекает гладко за 24 ч и приводит к образованию целевых 1,2,3-триазолов практически с количественными выходами (после хроматографической очистки выходы составили 79–89%).

Следующий этап наших исследований включал изучение экстракционных свойств синтезированных фосфорилированных триазолов **1–3**. Проведе-

Схема 2.



R = *n*-Oct (**1**), CH<sub>2</sub>CH<sub>2</sub>OH (**2**), CH<sub>2</sub>CH<sub>2</sub>P(O)(OEt)<sub>2</sub> (**3**).

**Таблица 1.** Коэффициенты распределения U(VI) и Th(IV) при экстракции растворами 0.005 моль/л соединений **1–4** в дихлорэтане из раствора 3 моль/л HNO<sub>3</sub>

Соединение	$\lg D_U$	$\lg D_{\text{Th}}$
<b>1</b>	1.26	0.57
<b>2</b>	0.41	-0.18
<b>3</b>	0.24	-0.45
<b>4</b>	0.80	2.87

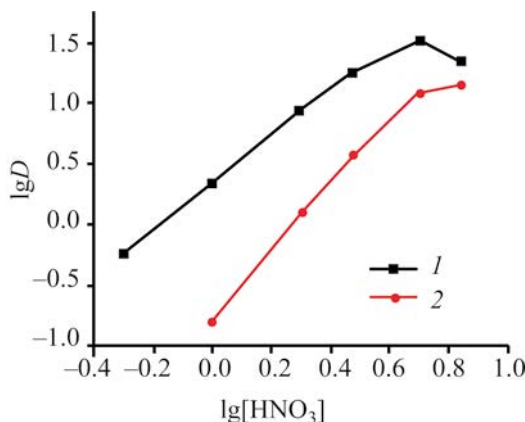
но сравнение эффективности экстракции U(VI) и Th(IV) из растворов азотной кислоты растворами дифосфорилированных триазолов **1–3** и дифосфоксида **4** в дихлорэтане. Из данных табл. 1 видно, что при экстракции U(VI) соединением **1** значение коэффициента распределения  $D_U$  выше, чем при экстракции соединением **4**. Напротив, диоксид **4** экстрагирует Th(IV) значительно более эффективно, чем соединение **1**. Природа заместителя при атоме азота фосфорилированных триазолов **1–3** оказывает существенное влияние на эффективность экстракции ионов металлов. При экстракции U(VI) и Th(IV) из раствора 3 моль/л HNO<sub>3</sub> величины  $D_U$  и  $D_{\text{Th}}$  возрастают в ряду **3 < 2 < 1**.

Было изучено влияние концентрации HNO<sub>3</sub> в равновесной водной фазе на изменение коэффи-

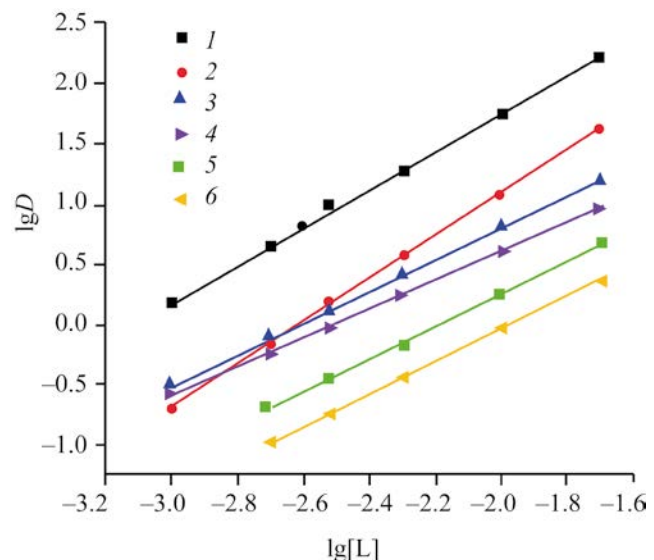
циентов распределения U(VI) и Th(IV) при экстракции растворами соединения **1** в дихлорэтане (рис. 1). Наблюдаемая при этом зависимость  $D$ –[HNO<sub>3</sub>] соответствует экстракции координационно-сolvатированных нитратов U(VI) и Th(IV).

Стехиометрическое соотношение металл–дифосфорилированный триазол в экстрагируемых комплексах определено методом сдвига равновесия. Полученные данные (рис. 2) показали, что соединения **1–3** в дихлорэтане экстрагируют U(VI) и Th(IV) из азотнокислых растворов в форме моно- и дисольватов.

Установлено, что ионы Ln(III) практически не экстрагируются соединениями **1–3** из растворов HNO<sub>3</sub>. Величины  $D_{\text{Ln}}$  не превышают 10<sup>-2</sup> при экс-



**Рис. 1.** Зависимость коэффициентов распределения U(VI) (**1**) и Th(IV) (**2**) от концентрации HNO<sub>3</sub> в водной фазе при экстракции растворами 0.005 моль/л соединения **1** в дихлорэтане.



**Рис. 2.** Зависимость коэффициентов распределения U(VI) (**1, 3, 4**) и Th(IV) (**2, 5, 6**) от концентрации соединений **1** (**1, 2**), **2** (**3, 5**) и **3** (**4, 6**) в дихлорэтане при экстракции из раствора 3 моль/л HNO<sub>3</sub>.

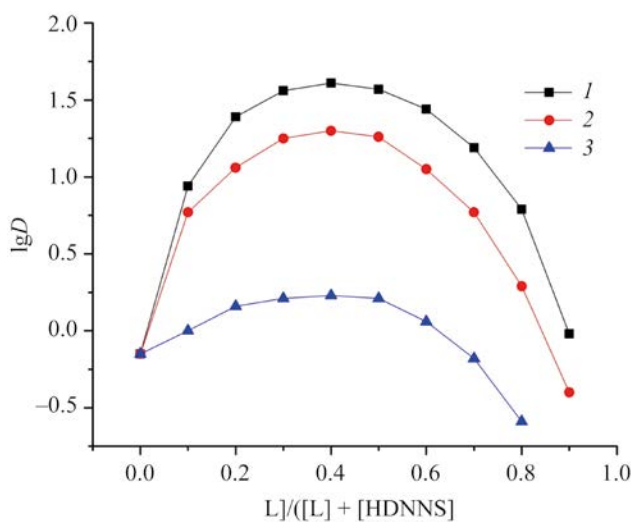


Рис. 3. Экстракция La(III) из раствора 1 моль/л  $HNO_3$  смесями соединений 1–3 и динонилнафталинсульфокислоты в дихлорэтане в зависимости от их мольного соотношения в органической фазе.  $[L] + [HDNNNS] = 0.05$  моль/л.

тракции 0.05 моль/л растворами этих соединений в дихлорэтане из раствора 3 моль/л  $HNO_3$ . Однако при экстракции смесями фосфорилированных триазолов и динонилнафталинсульфокислоты переход ионов Ln(III) в органическую фазу значительно возрастает. Данные по экстракции ионов La(III) из раствора 1 моль/л  $HNO_3$  изомолярными смесями соединений 1–3 и динонилнафталинсульфокислоты в дихлорэтане (рис. 3) указывают на значительный синергетический эффект в этой системе. По-видимому, это связано с участием гидрофобных анионов динонилнафталинсульфокислоты в образовании экстрагируемых комплексов.

При экстракции Ln(III) смесями триазолов 1–3 и динонилнафталинсульфокислоты из азотнокис-

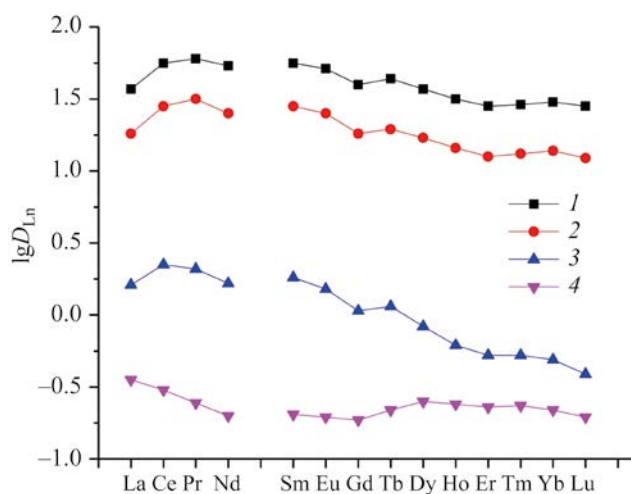


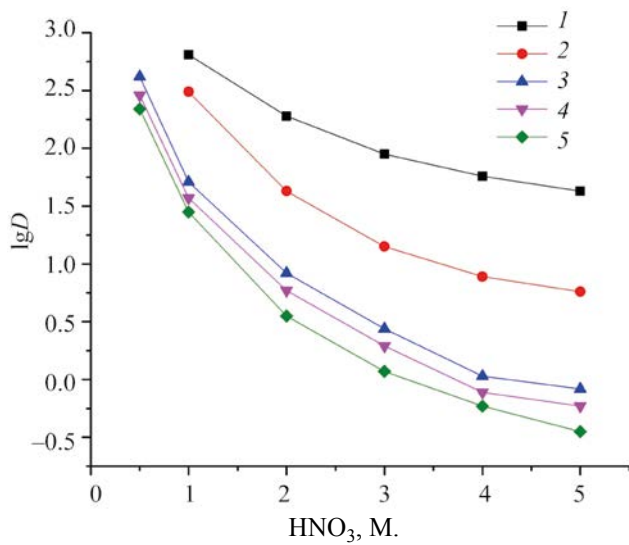
Рис. 4. Коэффициенты распределения Ln(III) при экстракции растворами 0.025 моль/л соединений 1 (1), 2 (2), 3 (3) в дихлорэтане, содержащем 0.035 моль/л динонилнафталинсульфокислоты, и раствором 0.025 моль/л динонилнафталинсульфокислоты (4) в дихлорэтане из растворов 1 моль/л  $HNO_3$ .

лых растворов величины  $D_{Ln}$  возрастают в ряду 3 < 2 < 1 (рис. 4). В ряду лантанидов эффективность экстракции Ln(III) возрастает от La(III) к Sm(III), а затем снижается по мере увеличения атомного номера лантанида ( $Z$ ) (рис. 4). Аналогичный характер зависимости  $\lg D_{Ln} - Z$  наблюдался при экстракции Ln(III) из азотнокислых растворов растворами ряда бидентатных фосфорорганических соединений, что связано с увеличением энергии гидратации ионов  $Ln^{3+}$  с увеличением  $Z$  [9].

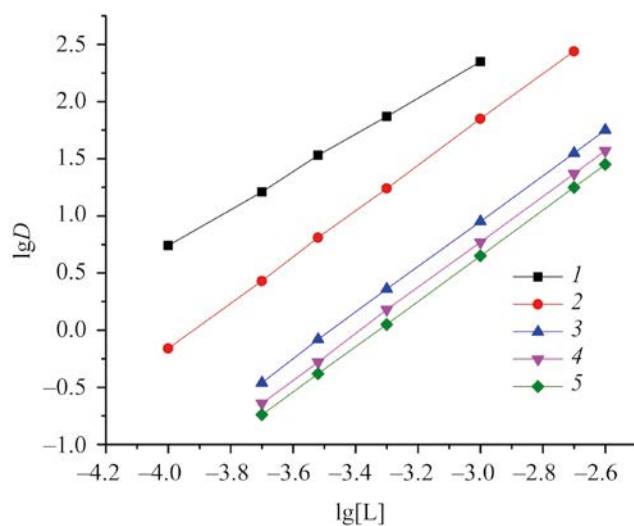
Синергизм при экстракции смесями фосфорилированных триазолов и динонилнафталинсульфокислоты из азотнокислых растворов наблюдается также в системах с U(VI) и Th(IV) (табл. 2). При этом величина синергетического эффекта

Таблица 2. Коэффициенты распределения U(VI) и Th(IV) при экстракции растворами 0.002 моль/л соединений 1–4 в дихлорэтане ( $D_0$ ) и в дихлорэтане, содержащем 0.002 моль/л динонилнафталинсульфокислоты ( $D$ ), из раствора 3 моль/л  $HNO_3$

Соединение	U(VI)			Th(IV)		
	$D_0$	$D$	SC	$D_0$	$D$	SC
1	4.36	758	174	0.71	275	388
2	0.76	67.6	88.9	0.21	26.9	128
3	0.57	26.9	47.2	0.11	6.17	56
4	2.29	23.9	10.5	178	398	2.24



**Рис. 5.** Зависимость коэффициентов распределения U(VI) (1), Th(IV) (2), Eu(III) (3), La(III) (4) и Lu(III) (5) от концентрации  $\text{HNO}_3$  в водной фазе при экстракции растворами смесей соединения 1 и динонилнафталинсульфокислоты в дихлорэтане.  $[L] = [\text{HDNNNS}] = 0.001$  (1, 2), 0.025 (3–5) моль/л.



**Рис. 6.** Зависимость коэффициентов распределения U(VI) (1), Th(IV) (2), Ce(III) (3), Dy(III) (4) и Lu(III) (5) от концентрации соединения 1 в дихлорэтане, содержащем 0.002 (1, 2) или 0.025 (3–5) моль/л динонилнафталинсульфокислоты, при экстракции из растворов 3 моль/л (1, 2) и 1 моль/л (3–5)  $\text{HNO}_3$ .

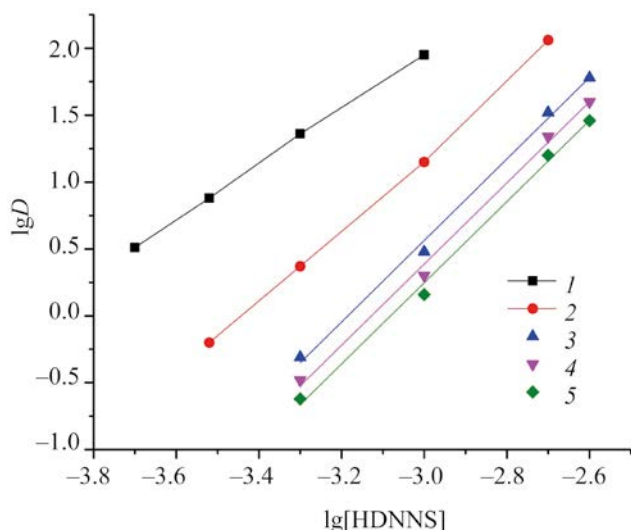
$SC = D/D_0$  (где  $D$  и  $D_0$  – коэффициенты распределения в присутствии и в отсутствие динонилнафталинсульфокислоты в органической фазе) при экстракции Th(IV) выше, чем при экстракции U(VI) смесями фосфорилированных триазолов и динонилнафталинсульфокислоты. Синергетический эффект возрастает в ряду соединений **4** < **3** < **2** < **1**.

При постоянной исходной концентрации соединения **1** и динонилнафталинсульфокислоты в органической фазе увеличение концентрации  $\text{HNO}_3$  в равновесной водной фазе сопровождается снижением коэффициентов распределения Ln(III), U(VI) и Th(IV) (рис. 5), что характерно для экстракции ионов металлов смесями нейтральных и катионообменных экстрагентов [28–30].

При постоянных концентрациях  $\text{HNO}_3$  в водной и динонилнафталинсульфокислоты в органической фазах угловой наклон зависимостей  $\lg D$ – $\lg [L]$  близок к 2 в случае экстракции Ln(III) и Th(IV) (рис. 6), что указывает на экстракцию этих ионов в виде дисольватов. При экстракции U(VI) угловой наклон зависимостей  $\lg D_U$ – $\lg [L]$  составляет 1.52 (рис. 6), что указывает на экстракцию U(VI) в виде смеси моно- и дисольватов.

При постоянных концентрациях  $\text{HNO}_3$  в водной и лиганда **1** в органической фазах угловой наклон зависимостей  $\lg D$ – $\lg [\text{HDNNNS}]$  близок к 2 в случае экстракции U(VI), к 3 при экстракции Th(IV) и 2.6 при экстракции Ln(III) (рис. 7). На основании этих данных можно предположить, что при экстракции из азотнокислых растворов смесями лиганда **1** ( $L$ ) и динонилнафталинсульфокислоты ионы U(VI) переходят в органическую фазу в виде комплексов  $\text{UO}_2\text{L}_2(\text{DNNS})_2$  и  $\text{UO}_2\text{L}(\text{DNNS})_2$ , ионы Th(IV) в виде  $\text{ThL}_2(\text{DNNS})_3(\text{NO}_3)$ , а Ln(III) в виде  $\text{LnL}_2(\text{DNNS})_3$  и  $\text{LnL}_2(\text{DNNS})_2(\text{NO}_3)$  (где DNNS<sup>–</sup> – анион динонилнафталинсульфокислоты).

Представленные данные показали, что 1-октил-1,2,3-триазоло-4,5-бис(дифенилfosфорилксид), в молекуле которого дифенилфосфорильные группы соединены между собой через виниленовый мостик и триазольный гетероцикл, обладает в азотнокислых средах более высокой экстракционной способностью по отношению к U(VI), чем 1,2-бис(дифенилфосфорил)этан, в молекуле которого дифенилфосфорильные группы соединены этиленовым спейсером, однако существенно уступает ему при экстракции Th(IV) и Ln(III). Экс-



**Рис. 7.** Зависимость коэффициентов распределения U(VI) (1), Th(IV) (2), Pr(III) (3), Gd(III) (4) и Tm(III) (5) от концентрации динонилнафталинсульфокислоты в дихлорэтане, содержащем 0.002 (1, 2) или 0.025 (3–5) моль/л соединения 1, при экстракции из растворов 3 моль/л (1, 2) и 1 моль/л (3–5) HNO<sub>3</sub>.

тракция актинидов и лантанидов фосфорилированными триазолами из азотнокислых растворов значительно возрастает в присутствии динонилнафталинсульфокислоты в органической фазе.

## ЭКСПЕРИМЕНТАЛЬНАЯ ЧАСТЬ

Органические растворители марки ХЧ обезвоживали и очищали по стандартным методикам. Динонилнафталинсульфокислоту (Sigma-Aldrich) очищали по методике [32]. 1,2-Бис(дифенилфосфорил)ацетилен [33], октилазид [34], 2-азидоэтанол [35], диэтил(2-азидоэтил)fosфонат [36] и 1,2-бис(дифенилфосфорил)этан 4 [37] получены по ранее описанным методикам.

Спектры ЯМР регистрировали в растворах дейтерохлороформа на приборах Bruker AMX-400 (<sup>1</sup>H и <sup>13</sup>C) и Bruker AMX-300 (<sup>31</sup>P), в качестве стандартов использовали ТМС (<sup>1</sup>H, <sup>13</sup>C, внутренний стандарт) и 85%-ную H<sub>3</sub>PO<sub>4</sub> (<sup>31</sup>P, внешний стандарт). ИК спектры записывали на Фурье-спектрометре Magna-IR 750 (Nicolet) в таблетках KBr.

**Общая методика синтеза соединений 1–3.** Раствор смеси 1,2-бис(дифенилфосфорил)ацетиlena (0.5 г, 1.17 ммоль) и соответствующего азода

(1.17 ммоль) в 10 мл CH<sub>2</sub>Cl<sub>2</sub> кипятили в токе аргона 24 ч (контроль по ТСХ и ЯМР <sup>31</sup>P). Растворитель удаляли в вакууме, остаток очищали хроматографически на силикагеле, используя в качестве элюента смесь CHCl<sub>3</sub>–EtOH, 50:0.6.

**1-Октил-1,2,3-триазоло-4,5-бис(дифенилфосфиноксид) (1).** Выход 83%, т. пл. 103–104°C. Спектр ЯМР <sup>1</sup>H (CDCl<sub>3</sub>), δ, м. д.: 0.80 т (3H, CH<sub>3</sub>, <sup>3</sup>J<sub>HH</sub> 7.0 Гц), 1.05–1.19 м [10H, (CH<sub>2</sub>)<sub>5</sub>], 1.70–1.73 м (2H, NCH<sub>2</sub>CH<sub>2</sub>), 5.03 т (2H, NCH<sub>2</sub>, <sup>3</sup>J<sub>HH</sub> 7.2 Гц), 7.22–7.31 м (8H, *m*-H, C<sub>6</sub>H<sub>5</sub>), 7.39 т (4H, *n*-H, C<sub>6</sub>H<sub>5</sub>, <sup>3</sup>J<sub>HH</sub> 7.3 Гц), 7.46 д. д. (4H, *o*-H, C<sub>6</sub>H<sub>5</sub>, <sup>3</sup>J<sub>PH</sub> 12.6, <sup>3</sup>J<sub>HH</sub> 7.1 Гц), 7.88 д. д. (4H, *o*-H в C<sub>6</sub>H<sub>5</sub>, <sup>3</sup>J<sub>PH</sub> 13.4, <sup>3</sup>J<sub>HH</sub> 7.3 Гц). Спектр ЯМР <sup>13</sup>C (CDCl<sub>3</sub>), δ<sub>C</sub>, м. д.: 13.68 (CH<sub>3</sub>), 22.13 (CH<sub>2</sub>), 25.91 (CH<sub>2</sub>), 28.44 (CH<sub>2</sub>), 28.45 (CH<sub>2</sub>), 30.44 (CH<sub>2</sub>), 31.20 (CH<sub>2</sub>), 51.28 (NCH<sub>2</sub>), 127.73 д (*m*-C, C<sub>6</sub>H<sub>5</sub>, <sup>3</sup>J<sub>PC</sub> 13.6 Гц), 127.78 д (*m*-C, C<sub>6</sub>H<sub>5</sub>, <sup>3</sup>J<sub>PC</sub> 12.8 Гц), 129.55 д (*unco*-C, C<sub>6</sub>H<sub>5</sub>, <sup>1</sup>J<sub>PC</sub> 114.8 Гц), 130.96 д (*o*-C, C<sub>6</sub>H<sub>5</sub>, <sup>2</sup>J<sub>PC</sub> 10.1 Гц), 131.32 д (*n*-C, C<sub>6</sub>H<sub>5</sub>, <sup>4</sup>J<sub>PC</sub> 2.4 Гц), 131.94 д (*unco*-C, C<sub>6</sub>H<sub>5</sub>, <sup>1</sup>J<sub>PC</sub> 111.0 Гц), 132.19 д (*o*-C, C<sub>6</sub>H<sub>5</sub>, <sup>2</sup>J<sub>PC</sub> 11.1 Гц), 132.29 д (*n*-C, C<sub>6</sub>H<sub>5</sub>, <sup>4</sup>J<sub>PC</sub> 2.7 Гц), 135.03 д. д. (=C<sup>5</sup>, <sup>1</sup>J<sub>PC</sub> 100.0, <sup>2</sup>J<sub>PC</sub> 24.3 Гц), 144.69 д. д. (=C<sup>4</sup>, <sup>1</sup>J<sub>PC</sub> 131.0, <sup>2</sup>J<sub>PC</sub> 15.2 Гц). Спектр ЯМР <sup>31</sup>P (CDCl<sub>3</sub>): δ<sub>P</sub> 17.67 и 21.03 м. д. Найдено, %: C 64.78; H 5.56; N 6.62; P 9.53. C<sub>34</sub>H<sub>37</sub>N<sub>3</sub>O<sub>2</sub>P<sub>2</sub>·0.5 CHCl<sub>3</sub>. Вычислено, %: C 64.61; H 5.89; N 6.55; P 9.66.

**1-(2-Гидроксиэтил)-1,2,3-триазоло-4,5-бис(дифенилфосфиноксид) (2).** Выход 89%, т. пл. 69–71°C. ИК спектр, ν, см<sup>-1</sup>: 3338, 1438, 1197 (P=O), 1121, 729, 690, 537. Спектр ЯМР <sup>1</sup>H (CDCl<sub>3</sub>), δ, м. д.: 4.07 т (2H, NCH<sub>2</sub>, <sup>3</sup>J<sub>HH</sub> 5.0 Гц), 4.61 уш. с (1H, OH), 5.09 т (2H, CH<sub>2</sub>OH), 7.30 дт (4H, *m*-H, C<sub>6</sub>H<sub>5</sub>, <sup>3</sup>J<sub>HH</sub> 7.6, <sup>4</sup>J<sub>PH</sub> 3.0 Гц), 7.35 д. т (4H, *m*-H, C<sub>6</sub>H<sub>5</sub>, <sup>3</sup>J<sub>HH</sub> 7.6, <sup>4</sup>J<sub>PH</sub> 3.1 Гц), 7.44–7.52 м (8H, *o,n*-H, C<sub>6</sub>H<sub>5</sub>), 7.94 д. д. (4H, *o*-H, C<sub>6</sub>H<sub>5</sub>, <sup>3</sup>J<sub>PH</sub> 13.6, <sup>3</sup>J<sub>HH</sub> 7.3 Гц). Спектр ЯМР <sup>13</sup>C (CDCl<sub>3</sub>), δ<sub>C</sub>, м. д.: 52.76 (NCH<sub>2</sub>), 61.67 (CH<sub>2</sub>OH), 128.02 д (*m*-C, C<sub>6</sub>H<sub>5</sub>, <sup>3</sup>J<sub>PC</sub> 12.8 Гц), 128.06 д (*m*-C, C<sub>6</sub>H<sub>5</sub>, <sup>3</sup>J<sub>PC</sub> 13.8 Гц), 128.87 д (*unco*-C, C<sub>6</sub>H<sub>5</sub>, <sup>1</sup>J<sub>PC</sub> 116.0 Гц), 131.12 д (*o*-C, C<sub>6</sub>H<sub>5</sub>, <sup>2</sup>J<sub>PC</sub> 10.1 Гц), 131.64 д (*n*-C, C<sub>6</sub>H<sub>5</sub>, <sup>4</sup>J<sub>PC</sub> 2.7 Гц), 131.72 д (*unco*-C, C<sub>6</sub>H<sub>5</sub>, <sup>1</sup>J<sub>PC</sub> 110.8 Гц), 132.40 д (*o*-C, C<sub>6</sub>H<sub>5</sub>, <sup>2</sup>J<sub>PC</sub> 11.5 Гц), 132.78 (*n*-C, C<sub>6</sub>H<sub>5</sub>, <sup>4</sup>J<sub>PC</sub> 2.7 Гц), 136.35 д. д. (=C<sup>5</sup>, <sup>1</sup>J<sub>PC</sub> 100.9, <sup>2</sup>J<sub>PC</sub> 24.0 Гц), 144.90 д. д. (=C<sup>4</sup>, <sup>1</sup>J<sub>PC</sub> 129.9, <sup>2</sup>J<sub>PC</sub> 15.4 Гц). Спектр ЯМР <sup>31</sup>P (CDCl<sub>3</sub>): δ<sub>P</sub> 17.74 и 24.09 м. д. Найдено, %: C 63.44; H 5.27; N 7.71; P 11.60. C<sub>28</sub>H<sub>35</sub>N<sub>3</sub>O<sub>2</sub>P<sub>2</sub>·0.5 CH<sub>2</sub>Cl<sub>2</sub>. Вычислено, %: C 63.46; H 4.81; N 7.86; P 11.59.

**1-[2-(Диэтоксифосфорил)этил]-1,2,3-триазоло-4,5-бис(дифенилфосфиноксид) (3).** Выход 79%, т. пл. 99–101°C. Спектр ЯМР  $^1\text{H}$  ( $\text{CDCl}_3$ ),  $\delta$ , м. д.: 1.30 т (6Н,  $\text{CH}_3$ ,  $^3J_{\text{HH}}$  7.2 Гц), 2.39 д. т (2Н,  $\text{CH}_2\text{P}$ ,  $^2J_{\text{HH}}$  19.0,  $^3J_{\text{HH}}$  8.0 Гц), 4.06–4.13 м (4Н,  $\text{POCH}_2$ ), 5.26 д. т (2Н,  $\text{NCH}_2$ ,  $^3J_{\text{PH}}$  8.0,  $^3J_{\text{HH}}$  8.0 Гц), 7.31 д. т (4Н, *мета*-Н,  $\text{C}_6\text{H}_5$ ,  $^3J_{\text{HH}}$  7.6,  $^4J_{\text{PH}}$  3.0 Гц), 7.35 д. т (4Н, *м-Н*,  $\text{C}_6\text{H}_5$ ,  $^3J_{\text{HH}}$  7.6,  $^3J_{\text{PH}}$  3.1 Гц), 7.44–7.52 м (8Н, *o,п-Н*,  $\text{C}_6\text{H}_5$ ), 7.91 д. д (4Н, *o-Н*,  $\text{C}_6\text{H}_5$ ,  $^3J_{\text{PH}}$  13.5,  $^3J_{\text{HH}}$  7.2 Гц). Спектр ЯМР  $^{13}\text{C}$  ( $\text{CDCl}_3$ ),  $\delta_{\text{C}}$ , м. д.: 15.63 д ( $\text{CH}_3$ ,  $^3J_{\text{PC}}$  5.9 Гц), 26.90 д ( $\text{PCH}_2$ ,  $^1J_{\text{PC}}$  138.7 Гц), 45.59 ( $\text{NCH}_2$ ), 127.52 д (*м-C*,  $\text{C}_6\text{H}_5$ ,  $^3J_{\text{PC}}$  12.6 Гц), 127.55 д (*м-C*,  $\text{C}_6\text{H}_5$ ,  $^3J_{\text{PC}}$  13.6 Гц), 128.90 д (*инко-C*,  $\text{C}_6\text{H}_5$ ,  $^1J_{\text{PC}}$  114.9 Гц), 130.60 д (*o-C*,  $\text{C}_6\text{H}_5$ ,  $^2J_{\text{PC}}$  9.9 Гц), 131.16 (*n-C*,  $\text{C}_6\text{H}_5$ ), 131.32 д (*инко-C*,  $\text{C}_6\text{H}_5$ ,  $^1J_{\text{PC}}$  107.3 Гц), 131.79 д (*o-C*,  $\text{C}_6\text{H}_5$ ,  $^2J_{\text{PC}}$  11.2 Гц), 132.20 (*n-C*,  $\text{C}_6\text{H}_5$ ), 134.99 д. д ( $=\text{C}^5$ ,  $^1J_{\text{PC}}$  99.2,  $^2J_{\text{PC}}$  24.3 Гц), 144.79 д. д ( $=\text{C}^4$ ,  $^1J_{\text{PC}}$  129.7,  $^2J_{\text{PC}}$  14.9 Гц). Спектр ЯМР  $^{31}\text{P}$  ( $\text{CDCl}_3$ ),  $\delta_{\text{P}}$ , м. д.: 17.39, 21.13, 25.18. Найдено, %: С 51.16; Н 4.90; Н 5.42; Р 12.04.  $\text{C}_{32}\text{H}_{34}\text{N}_3\text{O}_5\text{P}_3 \cdot 1.2 \text{CHCl}_3$ . Вычислено, %: С 51.33; Н 4.57; Н 5.41; Р 11.96.

**Исследование экстракционных свойств.** Распределение Ln(III), U(VI) и Th(IV) в экстракционных системах изучали на модельных растворах 0.3–5.0 моль/л  $\text{HNO}_3$ . Исходные водные растворы с концентрацией каждого элемента  $4 \times 10^{-6}$  моль/л готовили растворением соответствующих нитратов в воде с последующим добавлением  $\text{HNO}_3$  до требуемой концентрации. Все Ln(III) (кроме Pm) присутствовали в исходных водных растворах. Используемые реагенты соответствовали марке ХЧ В качестве органического растворителя использовали 1,2-дихлорэтан марки ХЧ (Вектон).

Опыты по экстракции проводили в пробирках с притертymi пробками при температуре  $21 \pm 1^\circ\text{C}$  и соотношении объемов органической и водной фаз 1:1. Контакт фаз осуществляли на роторном аппарате для перемешивания со скоростью 60 об/мин в течение 1 ч. Предварительно установлено, что этого времени достаточно для установления постоянных значений коэффициентов распределения ( $D$ ).

Содержание Ln(III), U(VI) и Th(IV) в исходных и равновесных водных растворах определяли методом масс-спектрометрии с ионизацией пробы в индуктивно связанный плазме с использованием масс-спектрометра XSeries II (Thermo Scientific, США). Содержание элементов в органической

фазе определяли по разнице концентраций в водном растворе до и после экстракции. Коэффициенты распределения элементов рассчитывали как отношение их концентраций в равновесных фазах. Погрешность определения коэффициентов распределения не превышала 10%. Концентрацию  $\text{HNO}_3$  в равновесных водных фазах определяли потенциометрическим титрованием раствором NaOH.

## ИНФОРМАЦИЯ ОБ АВТОРАХ

Туранов Александр Николаевич, ORCID: <https://orcid.org/0000-0002-5064-191X>

Артюшин Олег Иванович, ORCID: <https://orcid.org/0000-0001-6333-5973>

Смирнова Екатерина Владимировна, ORCID: <https://orcid.org/0000-0002-7161-4793>

Брель Валерий Кузьмич, ORCID: <https://orcid.org/0000-0003-4645-3251>

## ФИНАНСОВАЯ ПОДДЕРЖКА

Работа выполнена в рамках государственного задания Института физики твердого тела им. Ю.А. Осипьяна РАН, Института проблем технологий микроэлектроники и особо чистых материалов РАН, Института элементоорганических соединений им. А.Н. Несмиянова (№075-03-2023-642) Министерства науки и высшего образования РФ с использованием научного оборудования Центра исследования строения молекул Института элементоорганических соединений им. А.Н. Несмиянова РАН.

## КОНФЛИКТ ИНТЕРЕСОВ

Авторы заявляют об отсутствии конфликта интересов.

## СПИСОК ЛИТЕРАТУРЫ

- Myasoedov B.F., Kalmykov S.N., Kulyako Yu.M., Vinokurov S.E. // Geochem. Int. 2016. Vol. 54. N 13. P. 1156. doi 10.1134/S0016702916130115
- Аляпишев М.Ю., Бабаин В.А., Устынюк Ю.А. // Усп. хим. 2016. Т. 85. № 9. С. 943; Alyapichev M.Yu., Babain V.A., Ustynyuk Yu.A. // Russ. Chem. Rev. 2016. Vol. 85. N 9. P. 943. doi 10.1070/RCR4588
- Leoncini A., Huskens J., Verboom W. // Chem. Soc. Rev. 2017. Vol. 46. P. 7229. doi 10.1039/C7CS00574A

4. Wilson A.M., Bailey P.J., Tasker P.A. // Chem. Soc. Rev. 2014. Vol. 43. P. 123. doi 10.1039/C3CS60275C
5. Werner E.J., Biros S.M. // Org. Chem. Front. 2019. Vol. 6. P. 2067. doi 10.1039/C9QO00242A
6. Bhattacharyya A., Mohapatra P.K. // Radiochim. Acta. 2019. Vol. 107. P. 931. doi 10.1515/ract-2018-3064
7. Розен А.М., Крупнов Б.В. // Усп. хим. 1996. Т. 65. № 11. С. 1052; Rozen A.M., Krupnov B.V. // Russ. Chem. Rev. 1996. Vol. 65. N 11. P. 973. doi 10.1070/RC1996v06n11ABEH000241
8. Myasoedov B.F., Chmutova M.K., Kochetkova N.E., Koir O.E., Pribylova G.A., Nesterova N.P., Medved T.Y., Kabachnik M.I. // Solv. Extr. Ion Exch. 1986. Vol. 4. N 1. P. 61. doi 10.1080/07366298608917853
9. Horwitz E.P., Martin K.A., Diamond H., Kaplan L. // Solv. Extr. Ion Exch. 1986. Vol. 4. N 3. P. 449. doi 10.1080/07366298608917877
10. Чмутова М.К., Литвина М.Н., Прибылова Г.А., Иванова Л.А., Смирнов И.В., Шадрин А.Ю., Мясоедов Б.Ф. // Радиохимия. 1999. Т. 41. № 4. С. 331.
11. Siddall T.H. // J. Inorg. Nucl. Chem. 1963. Vol. 25. P. 883. doi 10.1016/0022-1902(63)80376-0
12. Mrochek J.E., Banks V.C. // J. Inorg. Nucl. Chem. 1965. Vol. 27. P. 589. doi 10.1016/0022-1902(65)80265-2
13. Розен А.М., Николотова З.И., Карташева Н.А., Юдина К.С. // Докл. АН СССР. 1975. Т. 222. № 5. С. 1151.
14. Розен А.М., Николотова З.И., Карташева Н.А. // Радиохимия. 1986. Т. 28. № 3. С. 407.
15. Беркман З.А., Бертина Л.Э., Кабачник М.И., Коссих В.Г., Медведь Т.Я., Нестерова Н.П., Розен А.М., Юдина К.С. // Радиохимия. 1975. Т. 17. № 2. С. 210.
16. Розен А.М., Николотова З.И., Карташева Н.А., Медведь Т.Я., Нестерова Н.П., Юдина К.С., Кабачник М.И. // Радиохимия. 1976. Т. 18. № 6. С. 846.
17. Matveeva A.G., Artyushin O.I., Pasechnik M.P., Stash A.I., Vologzhanina A.V., Matveev S.V., Godovikov I.A., Aysin R.R., Moiseeva A.A., Turanov A.N., Karandashev V.K., Brel V.K. // Polyhedron. 2021. Vol. 198. Article ID 115085. doi 10.1016/j.poly.2021.115085
18. Туранов А.Н., Карандашев В.К., Артюшин О.И., Костикова Г.В., Федосеев А.М., Брель В.К. // ЖОХ. 2022. Т. 92. № 8. С. 1289; Turanov A.N., Karandashev V.K., Artyushin O.I., Kostikova G.V., Fedoseev A.M., Brel V.K. // Russ. J. Gen. Chem. 2022. Vol. 92. P. 1479. doi 10.1134/S1070363222080163
19. Turanov A.N., Karandashev V.K., Artyushin O.I., Brel V.K. // Solv. Extr. Ion Exch. 2020. Vol. 38. N 2. P. 166. doi 10.1080/07366299.2019.1708001
20. Konopkina E.A., Matveev P.I., Huang P.-W., Kirsanova A.A., Chernysheva M.G., Sumyanova T.B., Domnikov K.S., Shi W.-Q., Kalmykov S.N., Petrov V.G., Borisova N.E. // Dalton Trans. 2022. Vol. 51. P. 11180. doi 10.1039/d2dt01007k
21. Zakirova G.G., Matveev P.I., Mladentsev D.Yu., Evsiunina M.V., Tafeenko V.A., Borisova N.E. // Mendeleev Commun. 2019. Vol. 29. N 4. P. 463. doi 10.1016/j.mencom.2019.07.037
22. Matveev P.I., Borisova N.E., Andreadi N.G., Zakirova G.G., Petrov V.G., Belova E.V., Kalmykov S.N., Myasoedov B.F. // Dalton Trans. 2019. Vol. 48. P. 2554. doi 10.1039/C8DT04729D
23. Artyushin O.I., Vologzhanina A.V., Turanov A.N., Karandashev V.K., Brel V.K. // Mendeleev Commun. 2021. Vol. 31. P. 306. doi 10.1016/j.mencom.2021.05.009
24. Rheingolg A.L., Liable-Sands L.M., Trofimenko S. // Angew. Chem. Int. Ed. 2000. Vol. 39. P. 3321. doi 10.1002/1521-3773(20000915)39:18<3321::AID-ANIE3321>3.0.CO;2-V
25. Moya-Cabrera M., Jancik V., Castro R.A., Herbst-Irmer R., Roesky H.W. // Inorg. Chem. 2006. Vol. 45. P. 5167. doi 10.1021/ic051567p
26. Alcantara-Garsia J., Jancik V., Barroso J., Hidalgo-Bonilla S., Cea-Olivares R., Toscano R.A., Moya-Cabrera M. // Inorg. Chem. 2009. Vol. 48. P. 5874. doi 10.1021/ic900166u
27. Correa-Ascencio M., Galvan-Miranda E.K., Rascon-Cruz F., Jimenez-Sandoval O., Jimenez-Sandoval S.J., Cea-Olivares R., Jancik V., Toscano R.A., Garcia-Montalvo V. // Inorg. Chem. 2010. Vol. 49. P. 4109. doi 10.1021/ic902120e
28. Mukai H., Sohrin Y. // Inorg. Chim. Acta. 2009. Vol. 362. P. 4526. doi 10.1016/j.ica.2009.06.01327
29. Ramadan A., Mahmoud M., Khalifa S.M., Souka N. // J. Radioanal. Nucl. Chem. Lett. 1993. Vol. 176. P. 457. doi 10.1007/bf02177682
30. Туранов А.Н., Карандашев В.К., Яркевич А.Н. // Радиохимия. 2018. Т. 60. № 6. С. 520.

31. Turanov A.N., Karandashev V.K. // Solv. Extract. Ion Exch. 2018. Vol. 36. P. 257. doi 10.1060/07366299.1459157
32. Danesi P.R., Chiarizia R., Scibona G. // J. Inorg. Nucl. Chem. 1973. Vol. 35. N 11. P. 3926. doi 10.1016/0022-1902(73)80089-2
33. Полянский К.Б., Афанасьев В.В., Беспалова Н.Б. Пат. RU 2616628 C2 (2017).
34. Baek S.-Y., Kim Y.-W., Yoo S.-H., Chung K., Kim N.-K., Kim J.-S. // Ind. Eng. Chem. Res. 2012. Vol. 51. N 28. P. 9669. doi 10.1021/ie300316f
35. Smith Jr. R.H., Mehl A.F., Shantz Jr. D.L., Chmurny G.N., Michejda C.J. // J. Org. Chem. 1988. Vol. 53. N 7. P. 1467. doi 10.1021/jo00242a022
36. Artyushin O.I., Vorob'eva D.V., Vasil'eva T.P., Osipov S.N., Roeschenthaler G.-V., Odinets I.L. // Heteroatom Chem. 2008. Vol. 19. P. 293. doi 10.1002/hc
37. Tsvetkov E.N., Bondarenko N.A., Malakhova I.G., Kabachnik M.I. // Synthesis. 1986. N 3. P. 198. doi 10.1055/s-1986-31510

## Synthesis and Extraction Properties of 4,5-Diphosphorylated Triazoles

A. N. Turanov<sup>a</sup>, V. K. Karandashev<sup>b</sup>, O. I. Artyushin<sup>c</sup>, E. V. Smirnova<sup>c,\*</sup>, and V. K. Brel<sup>c</sup>

<sup>a</sup> Yu.A. Ossipyan Institute of Solid State Physics of the Russian Academy of Sciences, Chernogolovka, 142432 Russia

<sup>b</sup> Institute of Microelectronics Technology and High Pure Materials of the Russian Academy of Sciences, Chernogolovka, 142432 Russia

<sup>c</sup> A.N. Nesmeyanov Institute of Organoelement Compounds of the Russian Academy of Sciences, Moscow, 119991 Russia

\*e-mail: matveeva@gmail.com

Received February 21, 2023; revised March 22, 2023; accepted March 27, 2023

A method for the synthesis of 4,5-diphosphorylated 1,2,3-triazoles has been developed, and the extraction of U(VI), Th(IV), and lanthanides(III) from nitric acid solutions by them was studied. A synergistic effect was found in the extraction of metal ions with mixtures of 4,5-diphosphorylated 1,2,3-triazoles and dinonylnaphthalenesulfonic acid. The stoichiometry of the extracted complexes was determined, and the influence of the structure of the extractant and the concentration of HNO<sub>3</sub> in the aqueous phase on the efficiency of the extraction of metal ions into the organic phase was considered. It was established that 4,5-diphosphorylated 1,2,3-triazole with the octyl substituent at nitrogen atom has the highest extraction ability with respect to actinides and lanthanides in nitric acid media.

**Keywords:** extraction, uranium(VI), thorium(IV), lanthanides(III), phosphine oxides, dinonylnaphthalenesulfonic acid